

## X線裝置用 絶縁油의 導電特性에 관한 研究

新丘專門大學 放射線科

金英一 · 李德出<sup>\*1</sup> · 鄭然澤<sup>\*2</sup>

### Abstract

### A Study on Conductivity Characteristics of the Insulating Oil for X-ray Tube Housing

Young Il Kim, Duck Chool Lee<sup>\*1</sup>, Yon Tack Chung<sup>\*2</sup>

*Dept. of Radiotechnology, Shin Gu Junior College*

*Kyung Ki Do, Korea*

This paper carried out an experiment on the characteristics of time, temperature, electric field and the dependence of electrode materials and gap length by the conduction current of the insulating oil used for x-ray tube housing.

The obtained results can be summarized as following:

1. In the x-ray tube housing insulating oil with vacuum condition, conduction current is declined more than the x-ray tube housing insulating oil with the air, and is held stable states.
2. At the low electric field, the higher temperature of the x-ray tube housing insulating oil is increased, the more conduction current.
3. The dependence of electrode material is appeared at the low electric field and the short gap length than the high and the long with  $\text{Fe} > \text{Cu} > \text{Al}$ .
4. At the I-E characteristics, the low electric field than 1000 [V/cm] is appeared Ohm's law region, and the high become saturation region.
5. At the same electric field, the longer gap length become, the more conduction current is increased, and the same applied voltage, the longer, the less conduction current is decreased, the less low than high temperature x-ray tube housing insulating oil.

\* o) 論文은 1986년도 본 學會의 學術研究費의 지원으로 研究되었음.

\*1 仁荷大學校 電氣工學科 · 工學博士, Dept. of Electrical Engineering, In Ha University

\*2 明知大學校 電氣工學科 · 工學博士, Dept. of Electrical Engineering, Myong Ji University

## 目 次

- I. 緒 論
- II. 實 驗
- III. 實驗結果 및 考察
- IV. 結 論
- 參考文獻

電流 - 電界 特性, 電極材料 및 間隙距離 依存性 等으로 X線絕緣油의 電氣的 諸特性 및 劣化過程을 基礎的으로 관측하고 보다 效率의in 使用 및 管理에 도움을 주는 實驗結果를 提示하였기에 X線裝置 設計者 및 製造業者를 위시하여 X線裝置 取扱者에게 새로운 知識과 理解를 줄 것으로 보며, 아울러 X線管의 수명 및 諸特性을 向上시키는 對策의 一環이 될 것으로 料되기에 이를 報告하고자 한다.

## I. 緒 論

現存 醫療用 X線裝置에 使用하고 있는 X線管에는 陽極電壓이 40~150 kVp 까지의 高電壓을 印加하여, 30~2,000mA의 陽極電流를 흘려 X線을 發生하고 있가 때문에, 陽極의 热電子 衝突面에서 대단히 높은 热과 X線이 發生하게 된다. 따라서 X線裝置에서 核心部分인 同時に 高價인 X線管을 長時間 使用하고, 高電壓으로부터의 電擊을 防止하기 위해서는 X線管을 管容器에 넣고 그 内部를 絶緣油로 채워 高電壓으로부터의 絶緣과 高熱의 冷却을 시키고 있다.<sup>1,2)</sup> 따라서 여기에 使用하고 있는 絶緣油는 항상 X線照射로 인한 劣化나 高熱 및 高電界에 依한 劣化가 일어나고 있어 本來의 目的인 絶緣과 冷却效果이 떨어지게 되어<sup>3)</sup> X線管의壽命 短縮 및 破損시키는 傾向이 있게 된다. 本研究에서는 X線用 絶緣油의 導電特性을 大氣 및 真空狀態에서의 電流 - 時間 特性, 電流 - 溫度 特性,

## II. 實 驗

### 1. 試 料

現在 X線管用으로 利用되고 있는 絶緣油(O.T 第 2種)를 採擇하고, 이를 真空狀態의 分위기로 하고 室溫에서 100°C까지 10°C 間隔으로 溫度를 維持하여 使用했다.

### 2. 實驗裝置

試料의 도전 特性를 測定하기 위하여 製作한 實驗장치를 사진 1, 2에 나타냈다.

電流計( $\sim 10^{-12}$  [A] electrometer)

直流電源: 20, 100, 200, 300 [V]

電極: 平板電極(5cm × 5cm × 2mm) Fe, Cu, Al.

平板對平板, 間隙距離 1, 5, 9mm.

真空유리 유조(1,000cc 容量)

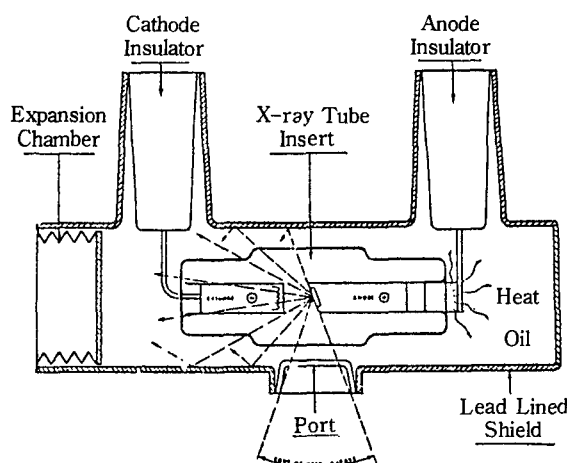


Fig.1. X-ray tube and tube housing

眞空 펌프 ( $30\ell/\text{min}$ ,  $10^{-2}$  Torr)

加熱式 磁力攪拌機(800 [W])

電極 지지함(테프론 使用) 等으로 구성되어 있다.

### 3. 實驗方法

X線用 絶緣油는 그림 1과 같이 X線管容器에 넣어使用하고 있으며, 그림 2에 도시한 真空유리 유조 内에 電極을 設置하고 이 内部에 X線用 絶緣油를 넣고攪拌 및 真空을 시키면서 徐徐히 히-터로 加熱 室溫에서부터  $100^\circ\text{C}$  까지  $10^\circ\text{C}$  間隔으로 溫度를 각자維持시키면서 導電電流를 測定하였다(사진 1,2 참조).

測定值의 正確을 기하기 위해서 電流計와 電源을격리하고 帶電部位를 接地하였으며, 모든 測定에서 絶

緣油는 不純物의 미소 함유 및 周圍 條件 等에 따라電氣的 特性 變化에 영향이 있기 때문에 이를 없애기 위해 容器 및 電極狀態는 每 實驗마다 同一 條件으로하였고, 大氣 穗團氣에서도 差가 적도록 留意하였으며 各 試料에 對해 比較하면서 4~5回 反復 測定하였다.

### III. 實驗結果 및 考察

#### 1. 直流 低電界에서의 電流-時間 特性

그림 3은 大氣 및 真空狀態에서의 電流-時間 關係를 나타낸 것으로 大氣狀態에 있어서는 空氣의 分子나水分, 吸藏가스 等의 溶解로 因한 이온性 不純物의增

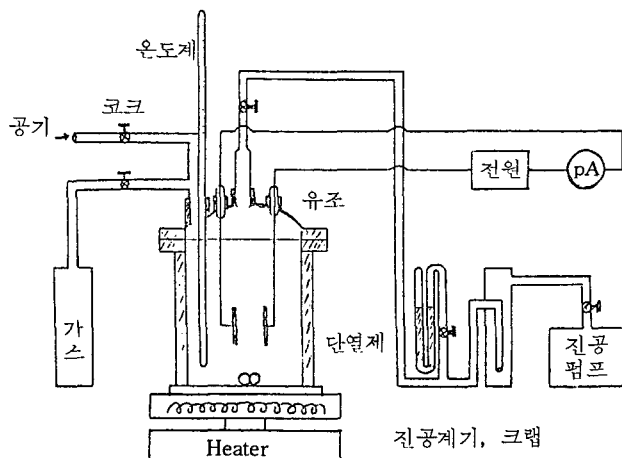


Fig.2. Schematic diagram of experimental device

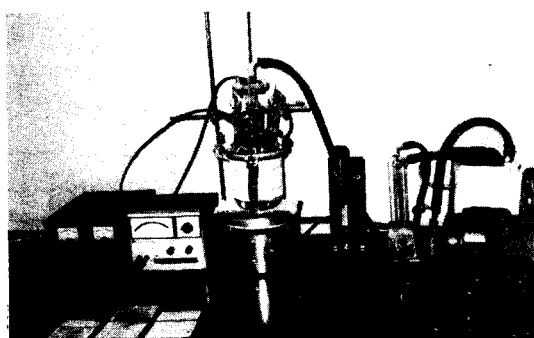


Photo.1. Photograph of experimental device

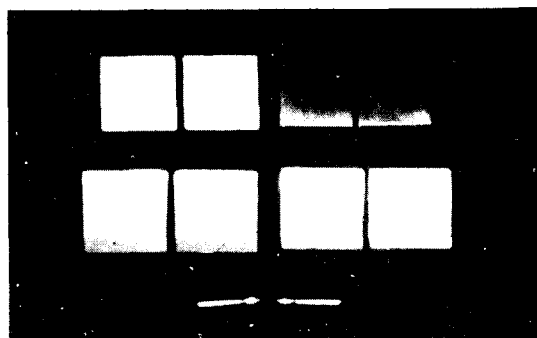


Photo.2. Electrode Fe, Cu, Al

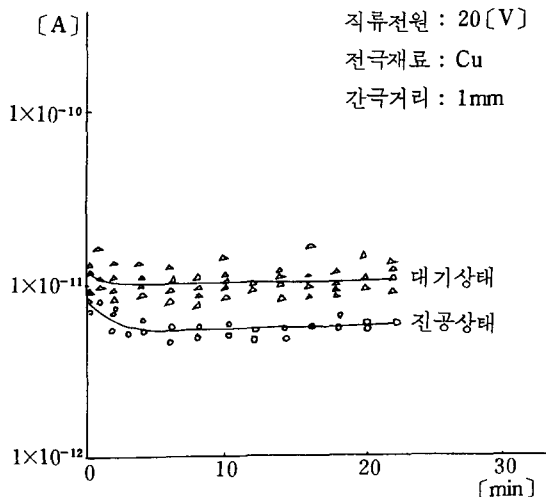


Fig. 3. I-t characteristics of insulating oil in vacuum and air condition

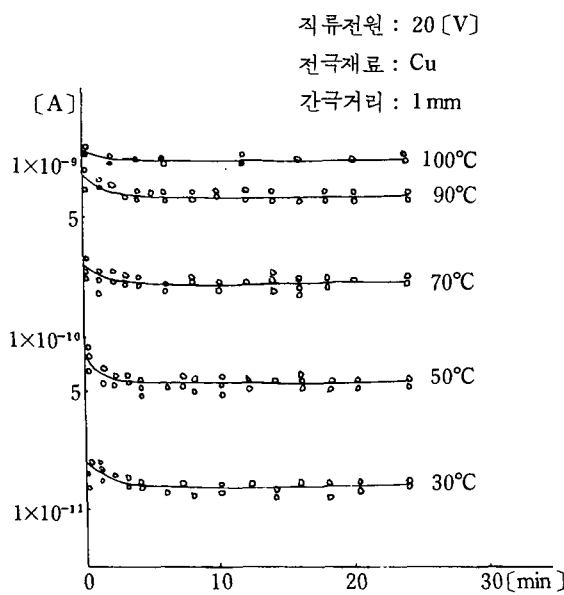


Fig. 4. I-t characteristics of various insulating oil temperature

加하게 되므로 <sup>4)</sup> 實測값도 不安定한 狀態를 보여 주고 있다. 따라서 絶緣油를 真空狀態로 維持시켜 줌으로서 絶緣油 内部의 氣泡 形成이나 가스 및 水分 等의 吸收 내지는 空氣 接觸으로 因한 酸化를 막을 수 있으므로 X線管容器 内에 絶緣油를 넣을 때는 必然的으로 真空狀態에서 注入하는 것이 바람직 하겠다. 그림 4는 溫度 變化에 따른 直流 低電壓을 加했을 때의 電

流—時間 特性으로 電壓을 印加하면 그 瞬間에 巨 電流가 흐르고 時間이 經過함에 따라 導電電流는 減少해서 安定值로 維持되고 있는 것을 보여주고 있는데, 이는 井上 外, 宮本 外 等의 研究와 같은 傾向을 나타내고 있으며 <sup>5,6)</sup> 그 原因은 成極에 基因한 充電電流의 減衰와 電極 表面에 吸着해 있는 解離 不純物 合유 및 初期에 液體中에 存在해 있는 過剩 電子 이온類가 時間經過에 따라서 差差로 消失하는 것에 起因하며 <sup>7,8)</sup> 純粹한 絶緣油일수록 急激한 減少가 잘 나타나고 不純한 絶緣油에서는 最終 狀態의 電流가 많기 때문에 最初의 피-크值와의 差가 적은 것으로 알려져 있다. 이러한 現象은 溫度가 높은 絶緣油에서도 마찬가지며 安定狀態로 되는 時間이 짧게 됨을 觀測할 수가 있었다. 이같이 低電壓 中에서의 殘留電流 原因으로서는 自然界의 放射線에 의한 이온화 및 除去되지 않은 不純物 이온 또는 分子의 解離에 의한 이온等이 支配的이라고 말할 수 있다.<sup>9)</sup> 이때 雜音成分을 無視한 導電率  $\sigma$ 는 時間 t 的 합수로서

$$\sigma = \sigma_0 + \sigma_i \exp(-\lambda t) \quad \dots \dots \dots (1)$$

의 形으로 나타낼 수가 있고, 여기서  $\sigma_0$ ,  $\sigma_i$ ,  $\lambda$ 는 定數가 된다.

## 2. 電流—溫度 特性

그림 4, 5, 6 等에서 絶緣油의 溫度 上昇과 더불어

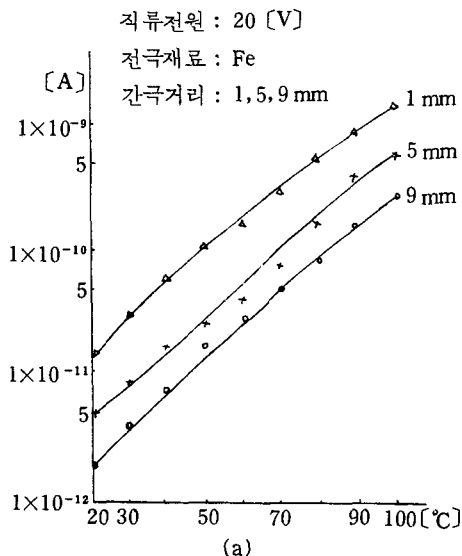
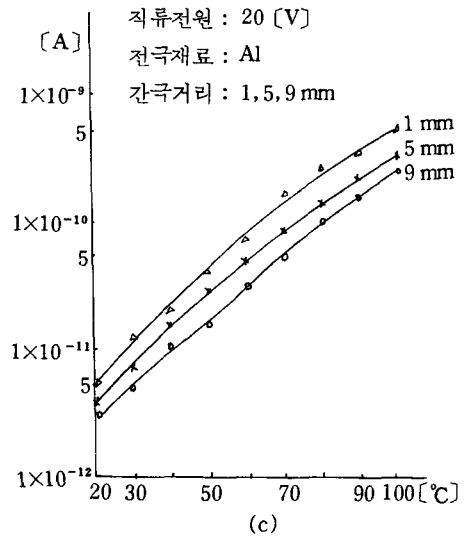
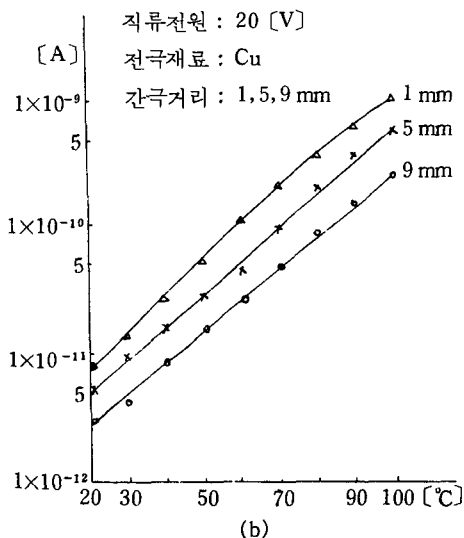


Fig. 5. Conduction current-temperature characteristics of various gap length



導電電流가 增加하는 것을 보여주고 있으며, 이는 다른 絶緣物과 마찬가지로 잘 알려진事實이다.<sup>4)</sup> 그原因으로는 먼저 熱에너지에 依한 油中의 이온化現象으로 인한 캐리어의增加를 생각할 수 있고<sup>4)</sup> 다음으로 溫度가 높아지면 絶緣油의 粘度가 減少하여<sup>4, 6, 9)</sup> 그만큼 이온의運動이自由롭게 되므로 導電率이增加하게 되는데, 드레거의研究에 依하면 純粹한 絶緣油에 있어서는 導電率이增加하는 率은 粘度가 減少

하는 率보다 크다고 하며, 이는 热에 依한 캐리어의 增加가 導電率 增加에 主要因이라는 것을 示唆해 주는 것이 된다. 따라서 絶緣油의 溫度에 依한 이온의 移動度  $\mu$ 의 溫度 依存性은 Arrhenius 式으로

$$\mu = \mu_0 \exp(-E\mu/RT) \quad \dots \dots \dots \quad (2)$$

로 표현되며, 粘性係數  $\eta$  의 溫度 依存性은 Andrade 式으로

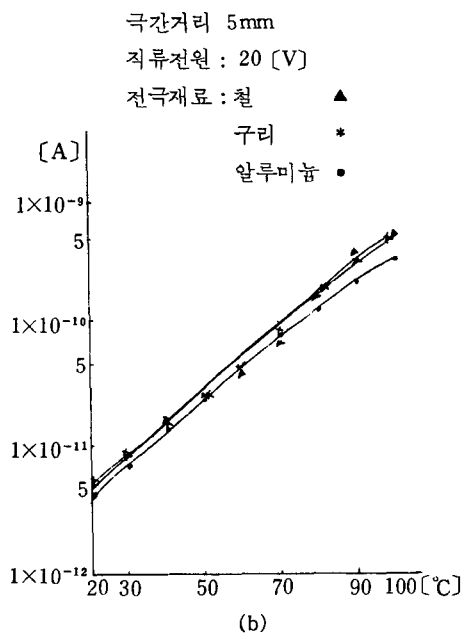
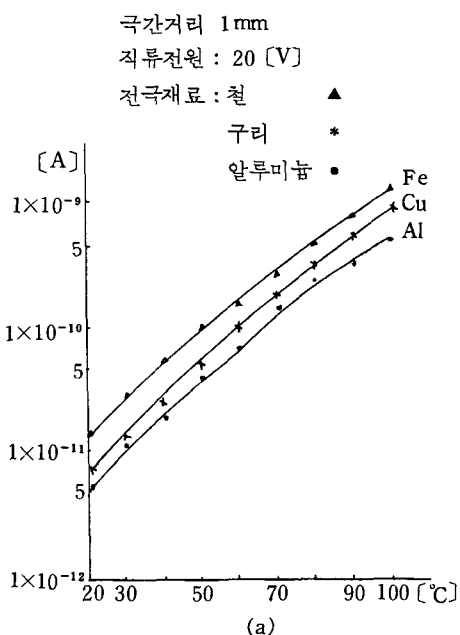
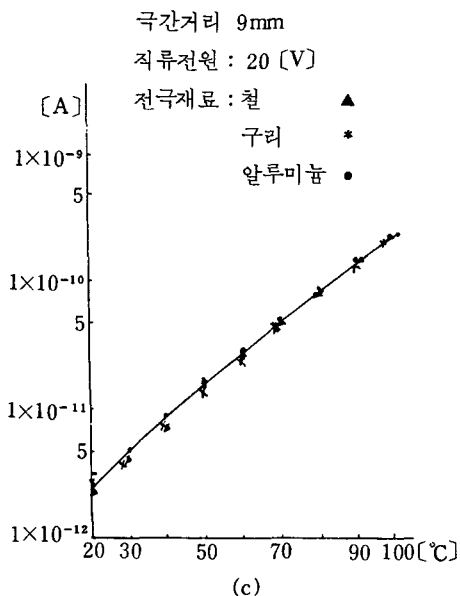


Fig.6. Conduction current-temperature characteristics of various materials of electrode



로 나타낸다. 여기서  $\mu_0$  및  $\eta_0$ 는 溫度에 관여 않는定數, R는 氣體定數, T는 絶對溫度,  $E\mu$ 는 移動度의活性化에너지,  $E\eta$ 는 粘性係數의活性化에너지가된다. 또한導電率의溫度依存性은

$$k = k'_0 \exp(-Ea/RT) \quad (4)$$

k는導電率,  $k'_0$ 는定數, Ea는活性化에너지가된다.

따라서 X線管容器內의 X線用绝缘油는 X線의發生으로 인한熱 때문에 温度가 上昇하게 됨으로서, 上記의論述처럼導電率이增加되어高電壓이印加되고 있는X線管에漏泄電流의增加, 温度上昇에依한绝缘油의劣化加速, 劣化에依한绝缘耐力의低下等이일어나는結果가되는同时에결과적으로X線管의破損을招來할憂慮가커지게된다. 따라서绝缘油의冷却問題는必然의이며<sup>10,11)</sup>이로서X線管容器內의绝缘油溫度는 80°C以上上昇하면X線管의高壓回路를遮斷하여X線發生을中止시키는同时에X線管을保護하고 있는 것이다.<sup>12)</sup>

또한绝缘油의劣化는酸素, 温度, 觸媒 및 高電界에依한코로나劣化等을提示할수있으나이中酸化劣化가主體이며酸化劣化는 대체로 10°C 높은溫度에서는低溫度의경우에비해約2倍의빠르기로進行된다는報告가있고<sup>13)</sup>이는绝缘油의수명이約半으로줄어든다는것을말해주고있다.绝缘油가劣化하는경우에는酸素가없으면이反應은일어나지않는다. 따라서이原理를應用해서绝缘油가酸素와

接觸하지않도록油中및油의周圍에서酸素, 實際問題로서는空氣를抽出하고 그代身에油와反應하지않는질소를充滿시키므로서绝缘油의劣化를防止할수가있음을알수있다. 그럼5,6에서绝缘油의溫度上昇에依한導電電流의增加는 200[V/cm]電界以下에서는绝缘油의溫度가室溫에서80°C까지上昇할때約36倍, 100°C까지는約100倍로되었으며2,400[V/cm]電界에서는80°C까지는約28倍, 100°C까지는約44倍로增加함을보여주고있다. 또한溫度變化에 따른導電電流크기變化는中電界보다는低電界에서크게나타났다.

### 3. 電流—電界特性

液體誘電體에電界를加하면低電界部分에서는Ohm의法則이成立하는領域(I)과中電界部分에서의飽和하는領域(II)및高電界部分에서指數함수적으로急增하는領域(III), 즉破壊前驅領域으로나타난다.<sup>14)</sup>液體誘電體中에存在하는荷電粒子(캐리어)의密度, 電荷 및 移動度를 각각  $n_i$ ,  $e_i$ ,  $\mu_i$ 라하고外部電界E를印加할때흐르는導電電流密度J는

$$J = \sum_i n_i \cdot e_i \cdot \mu_i \cdot E = \sigma E \quad (5)$$

로나타내며, 여기서  $\sigma = \sum_i n_i \cdot e_i \cdot \mu_i$ 는導電率이고誘電體의導電率은一般的으로低電界에서는電界에依存하지않는Ohm의法則을滿足하지만, 高電界로되면電界依存성을가진非Ohm的인傳導를나타내고있으며이領域에서의電流急增의代表적인原因으로서는

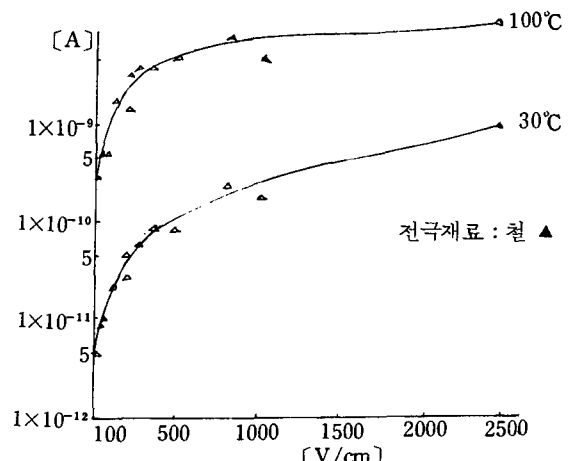


Fig. 7. I-E characteristics of insulating oil temperature

- (1) 油分子 또는 不純物의 電界에 依한 解離
  - (2) 陰極에서 油中 電子放出, Shottky 放出 혹은 冷陰極 放出
  - (3) 油分子 또는 不純物의 衝突電離 等을 들을 수 있고, 이때 電流는 House 氏에 依해 Townsend 모델에 유사시켜
- $I \propto \exp(\alpha L)$  ..... (6)

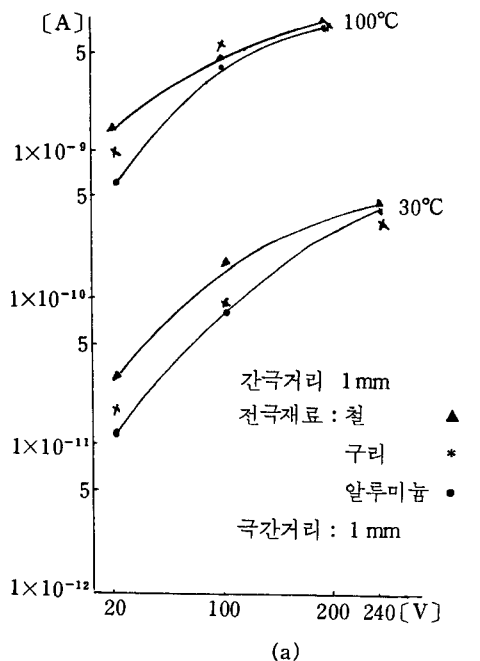
으로 나타냈으며, 여기서  $\alpha$ 는 油分子 또는 不純物의 電離係數이다. 그림 7은 溫度上昇에 따른 電流-電界特性으로 1,000 [V/cm] 以下の 低電界에서 電流는 電界에 比例하여 增加하는 Ohm 法則 領域을 나타내고 있으며, 이는 山田<sup>14)</sup> 氏等과 같은 傾向을 보여주고 있다. 또한 그 以上의 電界에서는 饰和領域을 보여주고 있는데 이 領域은 絶緣油의 溫度가 낮은 때 보다 높았을 때 顯著하고, 보다 낮은 電界에서 일어나고 있음을 나타내고 있다. 그림 8은 間隙距離를 一定히 한 電流-電壓曲線으로 印加電壓이 커짐에 따라, 溫度가 上昇함에 따라 導電電流가 增加하고 있는 것을 보여주고 있다.

#### 4. 電極材料 依存性

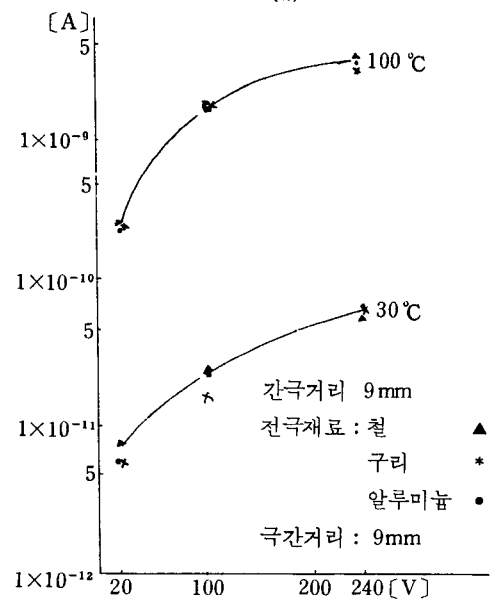
油中에서 電界 電氣傳導가 電極의 Schottky 效果의 热電子 放出에 관계 있다 하면,

$$i = AT_e \exp(-e\phi_{op}/kT) \dots \dots \dots (7)$$

의 Richardson-Dushman 式에 의해서 생각할 수가 있다. 따라서 電極材料를 變化시키면 다음 두 가지를 생각할 수 있는데 油 中에서 일함수( $\phi_{op}$ )가 다른 점과 热傳導가 다른 점 때문에 導電電流가 變化할 것을 推定할 수가 있고, 油中에서의 電極 反應도 어떤 영향이 키칠 것이라 생각된다. 여기서 山田氏에 의한 電極材料의 真空 中 및 變壓器 油 中에서의 일함수를 보면 鐵은 真空 및 油 中에서(4.0~4.8, 1.02), 銅은(3.9~4.4, 1.02), 알루미늄은(3.0~4.4, 1.03)으로 되는데 真空 中보다 油中에서 심히 적어지는 理由 및 그 값이 電極材料로 差異가 없는 理由를 山田氏는 油의 電子 親和力 및 陰極 表面의 酸化物에 기인하는 正이온의 堆積에 의한 일함수의 低下라고 하였다.<sup>14)</sup> 그림 6은 電極材料에 따른 電流-溫度特性을 나타낸 것으로 間隙距離가 1mm로 쳐고 直流 電源을 20 [V]로 낮은 電壓을 加했을 때 導電電流는 Fe > Cu > Al 順序로 電極 效果가 나타나고 있으나(그림 6 (a) 참조), 그림 6 (b) (c) 및 그림 8 (a) (b)에서와 같이 間隙距



(a)



(b)

Fig. 8. I-V characteristics of various insulating oil temperature

離가 커질수록 높은 電壓을 가할수록 電極材料에 對한 效果는 나타나지 않는데 이는 山田<sup>14)</sup> 및 徐<sup>15)</sup> 等의 研究와 같은 傾向을 보여 주었다. Sorge 氏에 依하면 電極材料에 따라 絶緣油의 絶緣耐力이 變化하는데 그 順序는 Fe < Cu < Al 으로 되고 徐<sup>15)</sup> 에

의하면 變壓器 油 中의 일합수는 Fe < Cu < Al 順으로 本 實驗에서의 Fe > Cu > Al 順序로 導電電流의 差는 妥當性이 있음을 말해주고 있으며 이는 油 中에서의 일합수 差로 인한 热電子 放出의 差가 미소한 間隙距離와 낮은 電壓에서는 나타나나, 間隙距離가 크거나 電壓이 높을 때는 間隙 內에 캐리어가 많으므로 그 差가 나타나지 않고 있음을 推定할 수 있겠다.

### 5. 間隙距離 依存性

그림 5 (a) (b) (c) 는 鐵, 銅, 알루미늄 電極을 間隙距離 1, 5, 9 mm로 했을 때의 電流-溫度 特性으로 溫度가 높을 때 導電電流는 增加했으며 間隙距離가 클 때 導電電流는 적어지고 있는데 이는 間隙距離가 커짐으로 해서 電界 [V/cm]가 적기 때문인 것이다. 間隙距離 變化에 導電電流 差는 鐵에서 가장 크고, 알루미늄에서 變化가 적음을 보여주고 있는데 이는 鐵에서 導電電流가 크고 알루미늄에서 적기 때문이라 思料된다. 그림 9는 直流 電源 240 [V]를 加했을 때 溫度 變化에 따른 電流-gap長의 關係로 gap長이 늘어남으로 電流가 減少하는 程度는 絶緣油의 溫度가 낮을 때 더 심함을 보여주고 있는데, 즉 電界가 1/9로

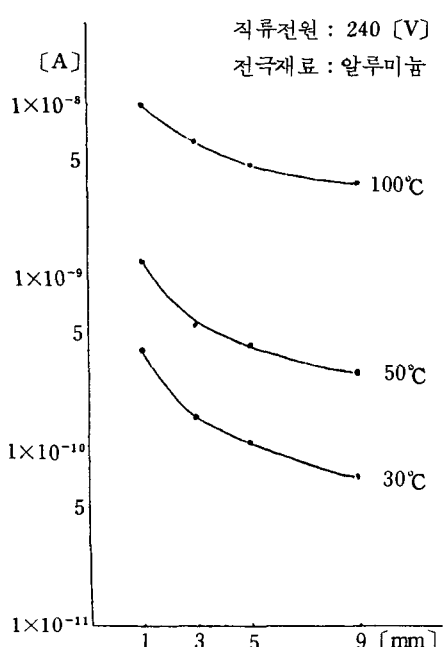


Fig.9. Conduction current-gap length characteristics of various insulating oil temperature

減少할 때 導電電流는 30°C에서 1/6, 100°C에서 1/3로 減少하고 있다. 이는 溫度가 높음으로 해서 電極에서의 热電子 放出이 늘어나고 많은 캐리어가 發生하기 때문이라 思料된다. 그림 10은 電極材料 鐵에 200 [V/cm]의 同一 電界를 1, 3, 5, 9 mm gap 長에 加했을 때의 溫度에 따른 導電電流 特性으로 gap長이 增加함에 따라 導電電流가 增加하는 것을 보여주고 있다. 徐<sup>15)</sup>의 研究報告에 의하면 100 [kV/cm] 및 200 [kV/cm]에서 gap長 1.5~6 mm 變化에 導電電流가 變化하지 않는 것으로 보아 衝突電離는 없는 것으로 보고하고 있는데 반해 本 實驗에서는 비록 電界가 낮지만 相反되는 見解를 보여주고 있다. 이는 比較的 低電界에서는 이온 傳導가 支配의이므로<sup>3)</sup> 同一電界에서 gap長이 클 때는 적을 때보다 全體의 캐리어 數가 많은 것은 當然하므로 gap長이 클 때 導電電流가 增加하는 것으로 思料된다.

### IV. 結論

X線管容器에 使用하고 있는 X線裝置用 絶緣油의 導電特性을 時間, 溫度, 電界 依存性과 電極材料 및

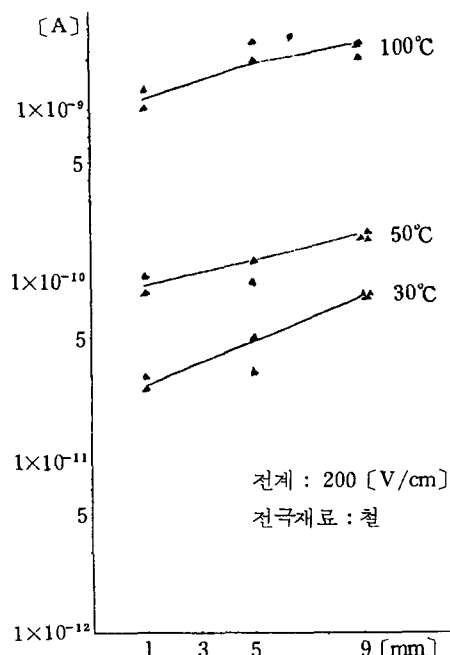


Fig.10. Conduction current-gap length characteristics at the same electric field

間隙距離 效果 等으로 檢討한 結果를 要約하면 다음과 같다.

1. 大氣 및 真空狀態에서의 導電電流는 真空狀態에서 크기가 적고 安定된 狀態의 測定이 可能하였다.
2. 低電界에서 溫度 上昇에 따라 導電電流는 指數的으로 增加하였고, 中電界보다는 低電界에서 크게 變化한다.
3. 電極材料 效果에서 導電電流는 低電界이고, 間隙距離가 적을 때 나타나며, 그 順序는  $\text{Fe} > \text{Cu} > \text{Al}$  이었다. 그러나 高電界 또는 間隙距離가 클 때는 그效果는 일어나지 않았다.
4. 間隙距離 變化에 따른 導電電流 變化는  $\text{Fe} > \text{Cu} > \text{Al}$  順으로 되었다.
5. 電流-電界 特性에서  $1,000 [\text{V}/\text{cm}]$  以下의 低電界에서는 Ohm 法則 領域, 그 以上에서는 飽和領域이 나타났으며 油溫이 높을 때는 낮은 電界에서 飽和領域이 일어나는 同時에 그 現象도 현저하였다.
6. 同一 電界에서 gap長이 길어지면 導電電流는 增加하였다.
7. 同一電壓에서 gap長이 길어지면 導電電流는 減少하였으며 溫度가 높은 油보다 낮은 油에서 더욱 더 減少하였다.

이러한 結果는 X線用 絶緣油의 電氣的 特性을 理解하는데 도움을 줄 수 있는 同時에 X線用 絶緣油의 使用 및 管理나 X線管의 保護 및 수명 연장 等에 대 소나마 寄與될 것을 바라며 보다 더 效率의인 改善 方案을 위해서 之後 添加物 및 가스 混入效果, 放射線 照射效果, 破壞電壓 等 綜合的으로 檢討하여 發表할 豫定이다.

## 參 考 文 獻

1. 青柳: 診斷用 X線裝置, コロナ社, pp. 130, 162, 1979.
2. 龍內 外: 診療X線裝置取扱の實際, オーム社, pp. 50, 274~275, 1967.
3. 李德出: 液體絕緣材料인 電氣絕緣油의 現況과 展望, 電氣學會誌, 28卷 1號, 1979.
4. 李德出 外: 高電壓工學, 文運堂, pp.156~163, 1984.
5. 芹澤・井上: 液體誘電體的研究現況, 電氣學會誌, Vol.87-4, No. 943, 1967.
6. 宮本・土江: 電氣絕緣油におけるイオン傳導, 電氣學會論文誌A, 98卷 1號, 1978.
7. 牛島: 液體・非晶體の物性工學, オーム社, p.268, 1968.
8. P.M. Scott; Electrotherapy & Actinotherapy, William & Wilkin Co., 2nd ed., 1976.
9. 長谷: 電氣絕緣油概說, 日石レピロー, 3卷 3號.
10. D.N. & M.O. Chesney: X-ray equipment for student radiographers, Blackwell, pp.46~50, 1978.
11. Hendee-Chaney: Radiologic physics equipment and quality control, Year Book M.P., p.102, 1977.
12. 村山: 變壓器内における油劣化の一考察, 電氣雜誌 OHM, pp.79~81, 1956.
13. 山田・田中・潮見: 絶緣油の導電電流と 直流破壊特性, 電氣學會論文誌A, 96卷 3號, 1976.
14. 徐國哲: 絶緣油의 導電電流와 直流破壊特性에 관한 研究, 電氣學會誌, 30卷 4號, 1981-4.